

УДК 539.376

ЭКСПЕРИМЕНТАЛЬНО-ТЕОРЕТИЧЕСКИЙ АНАЛИЗ ДЕФОРМИРОВАНИЯ ТРАНСВЕРСАЛЬНО-ИЗОТРОПНЫХ ПЛАСТИН ПРИ ПОЛЗУЧЕСТИ

И. А. Банщикова, В. А. Блинов

Институт гидродинамики им. М. А. Лаврентьева СО РАН, 630090 Новосибирск, Россия
E-mails: binna@ngs.ru, blin89-08@mail.ru

Приводятся результаты расчетов и экспериментов по кручению пластин из изотропных и трансверсально-изотропных сплавов ВТ-20 и 1163Т с пониженной сопротивляемостью деформациям ползучести в направлении, перпендикулярном срединной поверхности. Проведено сравнение результатов численного моделирования для пластин различной толщины, относящихся к классу жестких и гибких пластин, выполненного с использованием теории чистого изгиба и метода конечных элементов. Установлено, что при деформировании пластины из анизотропного материала в знакопеременную седлообразную поверхность значения кривизны меньше, чем в случае пластины из изотропного материала. Расчет в предположении чистого изгиба дает верхнюю оценку разности кривизн при деформировании пластин из трансверсально-изотропного и изотропного материалов.

Ключевые слова: пластина, ползучесть, трансверсально-изотропный материал, кручение, плоское напряженное состояние.

DOI: 10.15372/PMTF20160314

В настоящее время существует ряд способов формообразования крупногабаритных пластин при ползучести в условиях холодной и горячей обработки. Технический образец модуля с электрическим приводом штоков, созданный сотрудниками Новосибирского научно-исследовательского института авиационной технологии и организации производства и Института гидродинамики им. М. А. Лаврентьева СО РАН, начиная с 2006 г. работает на Новосибирском авиационном производственном объединении им. В. П. Чкалова [1, 2]. Этот экспериментальный модуль с изменяемой в процессе деформирования геометрией поверхности оснастки используется при изготовлении и правке (устранении скручивания и коробления, возникающих вследствие наличия остаточных напряжений) несущих элементов конструкций, формообразовании деталей в режимах ползучести при температурах старения и температурах, близких к температуре сверхпластичности.

Другая технология представляет собой формообразование крупногабаритных панелей за счет необратимых деформаций ползучести при температуре старения. Эта технология отрабатывается на Комсомольском-на-Амуре авиационном заводе им. Ю. А. Гагарина (филиал компании “Сухой”) применительно к изделию SSJ-100 [3].

Большинство современных конструкционных сплавов обладают свойствами анизотропии, упрочнения и разупрочнения, разнсопротивляемости растяжению, сжатию и круче-

нию [4, 5], что обуславливает необходимость уточнения параметров процесса формообразования и приводит к значительному усложнению расчетов. Экспериментальная проверка моделей ползучести в условиях сложного напряженного состояния существенно затруднена и проводится преимущественно на тонкостенных трубчатых образцах в условиях квазиоднородного напряженного состояния [6]. В работе [7] исследованы процессы деформирования в условиях анизотропной ползучести с использованием безмоментной теории оболочек. Вследствие существенной физической нелинейности процесса и сильной чувствительности к нагрузкам при решении задач ползучести для расчета и оценки необходимых усилий и кинематических параметров деформирования наряду с высокоточными численными методами требуется использовать упрощенные инженерные методики.

Свойства листового материала заготовок, одинаковые в плоскости листа, могут различаться в направлении нормали к листу и направлении, составляющем угол 45° с нормалью листа. Анизотропия такого рода может быть обусловлена прокаткой исходной заготовки. Для описания трансверсально-изотропного материала применяется модель [8], аналогичная используемой при описании анизотропной пластичности модели Хилла, согласно которой в случае произвольного напряженного состояния процесс ползучести описывается следующим образом:

$$\eta_{ij} = \frac{\partial \Phi}{\partial \sigma_{ij}}, \quad \Phi = \frac{T^{n+1}}{n+1}. \quad (1)$$

Здесь $\eta_{ij} = d\varepsilon_{ij}^c/dt$; σ_{ij} — компоненты тензора скоростей деформаций ползучести и напряжений; Φ — скалярная потенциальная функция тензора напряжений; T^2 — квадратичная форма компонент тензора напряжений. В случае ортотропного несжимаемого материала в системе координат, оси которой совмещены с главными осями анизотропии, функция $T(\sigma_{ij})$ имеет вид

$$T(\sigma_{ij}) = (A_{11}(\sigma_{22} - \sigma_{33})^2 + A_{22}(\sigma_{33} - \sigma_{11})^2 + A_{33}(\sigma_{11} - \sigma_{22})^2 + 2A_{12}\sigma_{12}^2 + 2A_{23}\sigma_{23}^2 + 2A_{31}\sigma_{31}^2)^{1/2}, \quad (2)$$

где $A_{11} = (B_{22}^{2/(n+1)} + B_{33}^{2/(n+1)} - B_{11}^{2/(n+1)})$; $2A_{12} = 4B_{12}^{2/(n+1)} - A_{11} - A_{22}$. Остальные компоненты получаются циклической перестановкой индексов. Константы B_{11} , B_{22} , B_{33} — характеристики процесса одномерной ползучести в трех главных направлениях; B_{12} , B_{23} , B_{31} — аналогичные характеристики в трех направлениях вдоль осей системы координат, полученной путем поворота исходной системы координат на угол, равный 45° . Коэффициенты B_{ij} определяются экспериментально.

Считается, что направление η_{33} совпадает с нормалью к пластине. В случае трансверсально-изотропного материала (изотропного в плоскости пластины) $\eta_{11} = \eta_{22}$ и $\eta_{33}/\eta_{22} = k$. “Коэффициент анизотропии” по нормали к пластине k определяется путем осреднения отношения изменения размера по толщине пластины (т. е. в направлении нормали к листу) к изменению размера по ширине плоского образца при различных степенях осевой деформации, полученных в экспериментах на растяжение. Учитывая, что $\eta_{33}/\eta_{22} = A_{22}/A_{33}$ и $A_{11} = A_{22}$, находим коэффициенты квадратичных форм

$$\begin{aligned} A_{11} = A_{22} &= \frac{k}{k+1} B^{2/(n+1)}, & A_{33} &= \frac{1}{k+1} B^{2/(n+1)}, \\ A_{12} &= \frac{k+2}{k+1} B^{2/(n+1)}, & A_{13} = A_{23} &= \frac{3}{2} B^{2/(n+1)}. \end{aligned} \quad (3)$$

Особый интерес представляют задачи кручения пластин при режимах ползучести, которые можно реализовать в эксперименте. Кручение пластины внешним скручивающим

моментом $M_{12} = M$, равномерно приложенным вдоль ее кромок (изгиб в седлообразную поверхность), можно реализовать путем приложения четырех сил величиной $2M$ в углах пластины [9]. Схема экспериментальной установки, реализующей чистое кручение квадратных пластин постоянной толщины, приведена в [10].

Предполагается, что полные деформации представляют собой сумму упругих деформаций и деформаций ползучести:

$$\varepsilon_{ij} = \varepsilon_{ij}^e + \varepsilon_{ij}^c \quad (4)$$

(индексы e, c соответствуют компонентам упругих деформаций и деформаций ползучести).

При численном моделировании решения задачи кручения пластины используются следующие два метода [11]:

1. Предполагается, что реализуется плоское напряженное состояние и прогиб сопоставим с толщиной. Мембранными усилиями в срединной поверхности пренебрегается. Решается задача о кручении пластины внешним скручивающим моментом M , равномерно приложенным вдоль кромок.

2. Для расчета используется метод конечных элементов в геометрически линейной и нелинейной постановках с использованием трехмерного элемента Solid45 конечно-элементного пакета Ansys. Решается задача о кручении пластины четырьмя силами величиной $2M$, приложенными в углах.

1. Разрешающие уравнения изгиба пластин в случае плоского напряженного состояния. Рассматривается чистый изгиб пластины толщиной h постоянными моментами M_{ij} ($i = 1, 2; j = 1, 2$), приложенными к ее крокам. Предполагается, что $\sigma_{33} = 0$ и прогиб $w = w(x_1, x_2, t)$ сопоставим с толщиной, мембранными усилиями в срединной поверхности пренебрегается.

С учетом (3) выражения для скорости деформаций (1) и функции $T(\sigma_{ij})$ (2) записываются в виде

$$\begin{aligned} \eta_{11} &= T_0^{n-1} B^{2/(n+1)} \left(\sigma_{11} - \frac{1}{k+1} \sigma_{22} \right), & \eta_{22} &= T_0^{n-1} B^{2/(n+1)} \left(\sigma_{22} - \frac{1}{k+1} \sigma_{11} \right), \\ \eta_{12} &= T_0^{n-1} B^{2/(n+1)} \frac{k+2}{k+1} \sigma_{12}, & T_0^2 &= B^{2/(n+1)} \left(\sigma_{11}^2 + \sigma_{22}^2 - \frac{2}{k+1} \sigma_{11} \sigma_{22} + 2 \frac{k+2}{k+1} \sigma_{12}^2 \right). \end{aligned} \quad (5)$$

В начальный момент $t = 0$ пластина деформируется упруго, т. е. $\varepsilon_{ij}^c = 0$. С учетом гипотез Кирхгофа для полных деформаций (4) имеем систему уравнений

$$\frac{\sigma_{11} - \nu \sigma_{22}}{E} + \varepsilon_{11}^c = \chi_{11} x_3, \quad \frac{\sigma_{22} - \nu \sigma_{11}}{E} + \varepsilon_{22}^c = \chi_{22} x_3, \quad \sigma_{12} \frac{1+\nu}{E} + \varepsilon_{12}^c = \chi_{12} x_3, \quad (6)$$

где E — модуль упругости; ν — коэффициент Пуассона; $-h/2 \leq x_3 \leq h/2$; $\chi_{ij} = -w_{,ij}$ ($i = 1, 2; j = 1, 2$) — кривизны и кручения срединной поверхности пластины при ее изгибе.

Уравнения (5), (6) с начальными и краевыми условиями (заданы постоянные изгибающие моменты M_{ij} , равномерно распределенные вдоль кромок пластины) сводятся к системе обыкновенных дифференциальных уравнений первого порядка относительно деформаций в точках разбиения пластины по толщине. При решении этой системы на каждом шаге по времени определяются кривизны $\chi_{ij}(t)$:

$$\begin{aligned} \chi_{11} &= \frac{12}{h^3} \left(\frac{M_{11} - \nu M_{22}}{E} + \int_{-h/2}^{h/2} \varepsilon_{11}^c x_3 dx_3 \right), & \chi_{22} &= \frac{12}{h^3} \left(\frac{M_{22} - \nu M_{11}}{E} + \int_{-h/2}^{h/2} \varepsilon_{22}^c x_3 dx_3 \right), \\ \chi_{12} &= \frac{12}{h^3} \left(\frac{1+\nu}{E} M_{12} + \int_{-h/2}^{h/2} \varepsilon_{12}^c x_3 dx_3 \right), & M_{ij} &= \int_{-h/2}^{h/2} \sigma_{ij} x_3 dx_3. \end{aligned}$$

Для расчета нагрузки и оценки поведения конструкции в целом можно использовать метод характеристической точки, описанный в [12]. В такой точке напряжения близки к постоянной величине при упругом деформировании пластины и при ее деформировании в условиях ползучести. При кручении пластины постоянным моментом M_{12} в предположении установившейся ползучести скорость изменения кривизны и напряжения равны

$$\begin{aligned}\dot{\chi}_{12} &= \frac{B}{2} \left(2 \frac{k+2}{k+1}\right)^{(n+1)/2} \left(\frac{2^{\mu+1}(\mu+2)M_{12}}{h^{\mu+2}}\right)^n, \\ \sigma_{12} &= \left(\frac{2}{B} \left(2 \frac{k+2}{k+1}\right)^{-(n+1)/2} \dot{\chi}_{12} x_3\right)^\mu, \quad \mu = \frac{1}{n}.\end{aligned}\quad (7)$$

Тогда касательное напряжение как для изотропного, так и для трансверсально-изотропного материала вычисляется по формуле

$$\sigma_{12} = \frac{2^{\mu+1}(\mu+2)}{h^{\mu+2}} M_{12} x_3^\mu.$$

Для определения координаты \bar{x}_3 характеристической точки приравняем напряжения, возникающие при упругом деформировании и при деформировании в условиях установившейся ползучести:

$$\bar{\sigma}_{12} = \frac{12}{h^3} M_{12} \bar{x}_3 = \frac{2^{\mu+1}(\mu+2)}{h^{\mu+2}} M_{12} \bar{x}_3^\mu. \quad (8)$$

Из (8) получаем $\bar{x}_3 = (h/2)((\mu+2)/3)^{1/(1-\mu)}$ (при $n \rightarrow \infty$ $\bar{x}_3 \rightarrow h/3$).

2. Решение задачи о кручении пластины силами, приложенными в углах, методом конечных элементов. Для расчета используется восьмиузловой объемный конечный элемент Solid45 с тремя степенями свободы программного комплекса Ansys. Вектор перемещений внутри элемента в любой точке аппроксимируется в виде $u = [N]\{u\}$, где $[N]$ — функции формы; $\{u\}$ — набор значений перемещений в узлах и значений дополнительных параметров. Дополнительные параметры предназначены для улучшения аппроксимации перемещений при нелинейном деформировании. Численное моделирование с помощью объемных элементов позволяет оценить влияние касательных напряжений при деформировании пластин большой толщины, а также деформации в срединной поверхности.

Метод конечных элементов основан на принципе виртуальной работы

$$\int_V d\{\varepsilon\}^T \{\sigma\} dV - \left(d\{u\}^T \{F\} + \int_V d\{u\}^T \{f\} dV + \int_S d\{u\}^T \{p\} dS \right) = 0. \quad (9)$$

Здесь $\{\varepsilon\}$, $\{\sigma\}$ — векторы деформаций и напряжений; $\{F\}$, $\{f\}$, $\{p\}$ — векторы сосредоточенных сил, распределенных нагрузок и поверхностных нагрузок соответственно. Напряжения связаны с упругими деформациями соотношением $\{\sigma\} = [D]\{\varepsilon^e\}$, где $[D]$ — матрица упругости. Для полных деформаций имеем $\{\varepsilon\} = [L][N]\{u\} = [P]\{u\}$, где $[L]$ — матрица, элементами которой являются дифференциальные операторы. Учитывая, что $\{\varepsilon\} = \{\varepsilon^e\} + \{\varepsilon^c\}$, выражение (9) записывается в виде

$$[K]\{u\} = \int_V [P]^T [D] \{\varepsilon^c\} dV + \{R\}, \quad (10)$$

где $[K] = \int_V [P]^T [D] [P] dV$ — матрица жесткости; $\{R\} = \{F\} + \int_V [N]^T \{f\} dV + \int_S [N]^T \{p\} dS$ — вектор сил, обусловленных внешними нагрузками.

В скоростях уравнение (10) можно записать в следующем виде:

$$\{\dot{u}\} = [K]^{-1} \left(\int_V [P]^T [D] \{\dot{\varepsilon}^c\} dV + \{\dot{R}\} \right). \quad (11)$$

Здесь $\{\dot{\varepsilon}^c\} = B(\sqrt{\{\sigma\}^T [A_*] \{\sigma\}})^{n-1} [A_*] \{\sigma\}$ — вектор скоростей деформаций ползучести; $[A_*]$ — матрица:

$$[A_*] = B^{-2/(n+1)} \begin{bmatrix} A_{22} + A_{33} & -A_{33} & -A_{22} & 0 & 0 & 0 \\ -A_{33} & A_{11} + A_{33} & -A_{11} & 0 & 0 & 0 \\ -A_{22} & -A_{11} & A_{11} + A_{22} & 0 & 0 & 0 \\ 0 & 0 & 0 & 2A_{12} & 0 & 0 \\ 0 & 0 & 0 & 0 & 2A_{13} & 0 \\ 0 & 0 & 0 & 0 & 0 & 2A_{23} \end{bmatrix}.$$

В случае трансверсально-изотропного при ползучести материала коэффициенты этой матрицы определяются выражениями (3).

Напряжения $\{\sigma\}$ и деформации $\{\varepsilon\}$ определяются в точках, которые используются при вычислении объемных интегралов в (10), (11) с помощью квадратур Гаусса с весовыми коэффициентами, соответствующими этим точкам. Для решения уравнения (11) используется неявная схема численного интегрирования по времени с начальным условием $\{u_0\} = [K]^{-1} \{R_0\}$, поскольку $\{\varepsilon^c\} = 0$ при $t = 0$. Представленная схема расчета в упрощенной форме применима при решении задачи в геометрически линейной постановке [9, 13].

В случае решения геометрически нелинейной задачи матрицы элементов и векторы нагрузки получаются с использованием модифицированного вариационного принципа Лагранжа. Для уточнения перемещений $\{u\}$ на каждом временном шаге используется процедура Ньютона — Рафсона. Получаемая при этом матрица жесткости преобразуется к виду $[K] = \int_V [P]^T [D] [P] dV + [S]$, где $[S]$ — матрица текущих напряжений Коши; $[P]$ — матрица в соотношениях, связывающих деформации и перемещения в деформированном состоянии. Матрицу $[P]$ можно представить в виде $[P] = [P_0] + [P_1(\{u\})]$, где $[P_0]$ — матрица, определяющая малые деформации; $[P_1(\{u\})]$ — матрица, зависящая от перемещений $\{u\}$. Модель анизотропной ползучести была протестирована на задаче о растяжении кубического образца [14].

3. Кручение пластины из изотропного сплава ВТ-20 при $T = 750$ °С. Эксперименты проводились для квадратных пластин (длина стороны $a = 170 \div 200$ мм) различной толщины ($h = 10 \div 25$ мм) из сплава ВТ-20. На рис. 1 показана пластина ($h = 17$ мм, 180×180 мм) с характерной линейчатой формой поверхности, в случае когда величина прогиба пластины сопоставима с ее толщиной. Линейчатая форма поверхности свидетельствует о том, что деформации в срединной поверхности незначительны и для расчета можно использовать метод 1. Несложно показать, что в предположении чистого изгиба кривизна χ_{12} , возникающая при кручении пластины, совпадает с кривизной диагонали пластины χ , при этом максимальное значение прогиба можно вычислить по формуле $w = \chi a^2/4$. Численное моделирование выполнено при $k = 1$ и следующих значениях констант: $n = 2,5$, $B = B_{11} = 8,89 \cdot 10^{-10} (\text{МПа}/\text{м}^2)^{-n} \cdot \text{с}^{-1}$ [10].

На рис. 2 представлены экспериментальные данные и результаты численных расчетов для образцов 1, 3, 4 с размерами $h \simeq 25$ мм, $a = 200$ мм и образца 2 с размерами $h = 17$ мм, $a = 180$ мм. Точками показаны экспериментальные значения кривизны диагонали пластины при кручении силами величиной $F = 2M = 2M_{12}$, приложенными в углах,

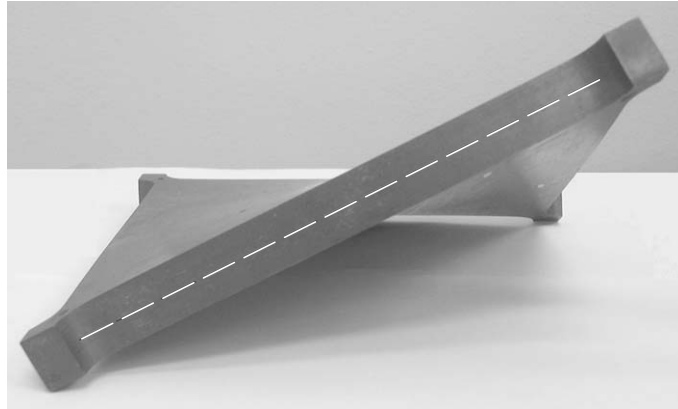


Рис. 1. Линейчатая поверхность пластины после кручения

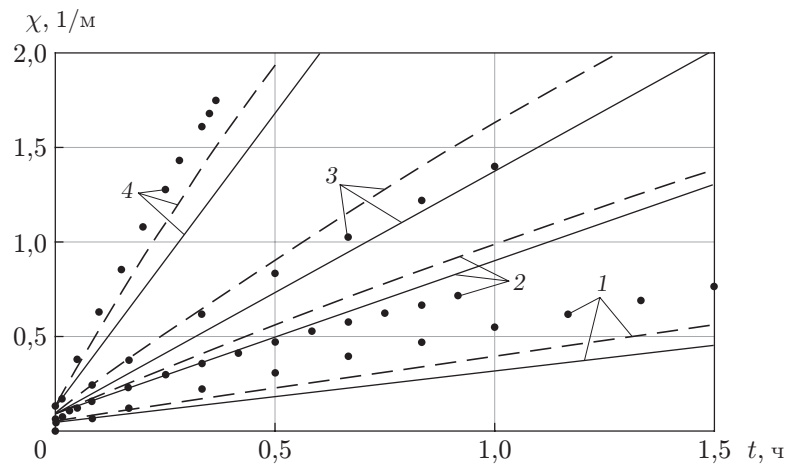


Рис. 2. Зависимость кривизны диагонали пластины от времени:
 точки — экспериментальные данные, сплошные линии — расчет методом 1, штриховые — расчет методом 2; 1 — $M = 1284 \text{ Н} \cdot \text{м/м}$, $h = 25 \text{ мм}$, 2 — $M = 791 \text{ Н} \cdot \text{м/м}$, $h = 17 \text{ мм}$, 3 — $M = 2453 \text{ Н} \cdot \text{м/м}$, $h = 25,2 \text{ мм}$, 4 — $M = 3422 \text{ Н} \cdot \text{м/м}$, $h = 25 \text{ мм}$

сплошные линии — расчет методом 1, штриховые — расчет методом 2 с учетом геометрической нелинейности. Кривизна вычислялась по прогибу диагонали в центре на базе 100 мм. При проведении расчетов пластина разбивалась на шесть элементов по толщине. Экспериментальные данные и расчетные линии 1–4 соответствуют крутящему моменту $M = 1284, 791, 2453, 3422 \text{ Н} \cdot \text{м/м}$ (толщина образцов равна $h = 25,0; 17,0; 25,2; 25,0 \text{ мм}$), интенсивность напряжений в характеристической точке, вычисленная по формуле (8), составляет $\bar{\sigma}_i = \sqrt{3} \bar{\sigma}_{12} = 14,72; 19,62; 27,68; 39,23 \text{ МПа}$ соответственно. Значения кривизны, вычисленные методами 1 и 2, различаются на 5–10 %. Это объясняется тем, что для пластин большой толщины задачи кручения силами, приложенными в углах, и моментом, равномерно распределенным вдоль кромок [9], не являются эквивалентными, поскольку в условиях ползучести краевой эффект затухает медленнее, чем при упругом деформировании. В условиях, приближенных к чистому изгибу, влиянием краевого эффекта можно пренебречь и для расчетов использовать более простой и требующий меньших затрат времени при реализации метод 1.

На рис. 3 приведена зависимость интенсивности напряжений $\sigma_i = T/B^{1/(n+1)}$ от времени, полученная методом 2 с учетом геометрической нелинейности в узлах конечно-

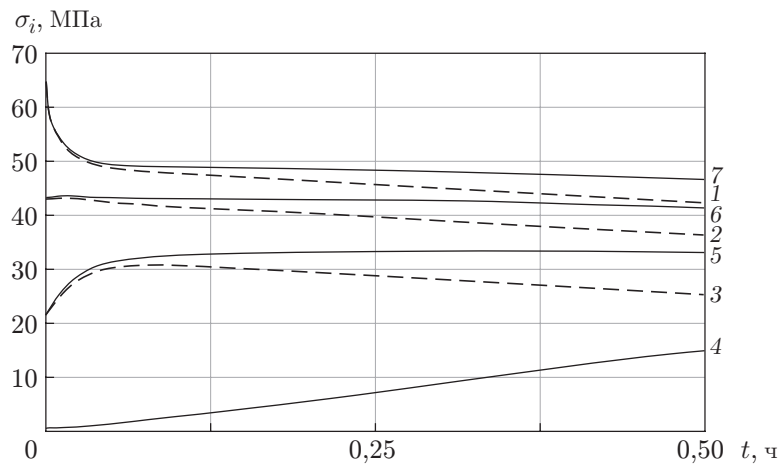


Рис. 3. Зависимость интенсивности напряжений от времени, полученная методом 2 с учетом геометрической нелинейности при $M = 3422 \text{ Н} \cdot \text{м/м}$ в узлах $x_1 = x_2 = 30 \text{ мм}$:

1 — $x_3 = -h/2$, 2 — $x_3 = -h/3$, 3 — $x_3 = -h/6$, 4 — $x_3 = 0$, 5 — $x_3 = h/6$, 6 — $x_3 = h/3$, 7 — $x_3 = h/2$

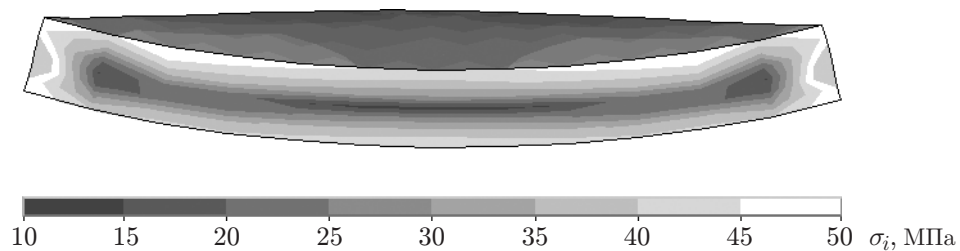


Рис. 4. Изолинии интенсивности напряжений в сечении вдоль диагонали пластины при $t = 0,5 \text{ ч}$

элементной сетки $x_1 = x_2 = 30 \text{ мм}$ при $F = 2M$, $M = 3422 \text{ Н} \cdot \text{м/м}$. Линиями 2, 6 показана интенсивность напряжений в окрестности характеристических точек. Заметим, что осредненное значение, полученное методом 2, близко к значению $\bar{\sigma}_i = 39,23 \text{ МПа}$, вычисленному по формуле (8). На рис. 3 видно, что в процессе деформирования происходит перераспределение напряжений по толщине пластины от начального упругого состояния до состояния развитых деформаций ползучести. Наблюдается уменьшение интенсивности напряжений вблизи поверхностей $x_3 = \pm h/2$ и ее увеличение при $x_3 = 0$. Монотонное убывание или возрастание интенсивности напряжений при больших значениях времени можно объяснить постепенным накоплением мембранных деформаций, а также смещением нейтральной поверхности. На рис. 4 показаны изолинии интенсивности напряжений в сечении вдоль одной из диагоналей пластины, проходящей через узлы с координатами $x_1 = x_2 = 30 \text{ мм}$, при $t = 0,5 \text{ ч}$, $M = 3422 \text{ Н} \cdot \text{м/м}$. Аналогичный расчет в геометрически линейной постановке методом 2 показал, что по мере развития деформаций ползучести интенсивность напряжений стремится к постоянной величине, зависящей от поперечной координаты $\sigma_i = C(x_3) = C(-x_3)$.

4. Кручение пластины из трансверсально-изотропного сплава 1163Т при $T = 400 \text{ }^\circ\text{C}$. На рис. 5 показана пластина из сплава марки 1163Т после деформирования (кручения) в течение 3 ч четырьмя силами $F = 2M = 900 \text{ Н}$, приложенными в углах. Форма пластины существенно отличается от линейчатой. Образцы, вырезанные из плиты



Рис. 5. Форма пластины из сплава 1163Т после деформирования в течение 3 ч

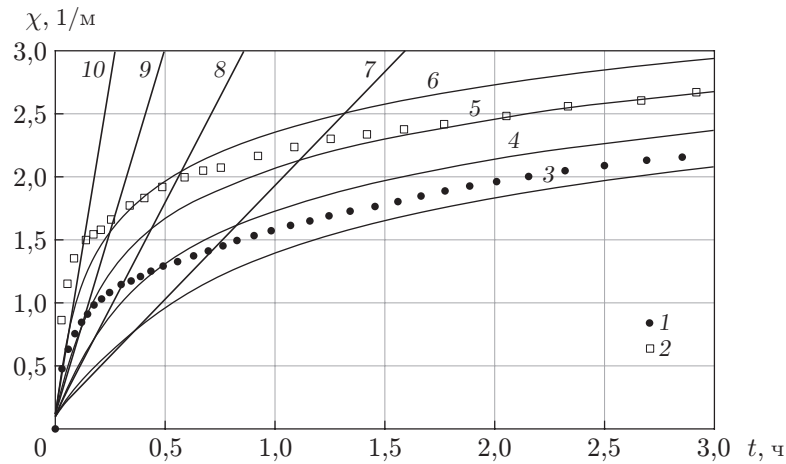


Рис. 6. Зависимость кривизны диагонали пластины из сплава марки 1163Т при кручении силами F , приложенными в углах, от времени: точки 1, 2 — экспериментальные данные, линии 3–6 — расчет методом 2, линии 7–10 — расчет методом 1; 1, 3, 4, 7, 8 — $F = 760$ Н (3, 7 — $k = 2,5$, 4, 8 — $k = 1$); 2, 5, 6, 9, 10 — $F = 900$ Н (5, 9 — $k = 2,5$, 6, 10 — $k = 1$)

толщиной 12 мм, имели размеры 180×180 мм, $h \simeq 10,4$ мм. “Коэффициент анизотропии”, полученный в экспериментах, равен $k = 2,5$. Константы определяющих соотношений имели следующие значения: $n = 7$, $B = B_{11} = 6,57 \cdot 10^{-16} (\text{МПа}/\text{м}^2)^{-n} \cdot \text{с}^{-1}$ [15].

На рис. 6 приведена зависимость кривизны диагонали пластины из сплава 1163Т при кручении силами $F = 2M = 760, 900$ Н, приложенными в углах, от времени. Видно, что значения кривизны $\chi < 0,8$ 1/м, полученные методами 1 и 2, различаются несущественно, при $\chi > 0,8$ 1/м форма пластины постепенно отклоняется от линейчатой формы поверхности (см. рис. 5). Экспериментальные значения кривизны на участке $\chi < 0,8$ 1/м больше расчетных. Возможно, это обусловлено большей интенсивностью процесса деформирования, характеризующегося большими напряжениями при ползучести в начале процесса деформирования. Следует отметить, что определяющие соотношения с выбранными константами достаточно точно описывают деформирование материала в диапазоне $20 \text{ МПа} < \sigma_i < 30 \text{ МПа}$ [15]. Высокий уровень напряжений наблюдался также для сплава марки ВТ20 при $t < 0,1$ ч (кривые 1 и 7 на рис. 3). При этом из результатов расчета балок при изгибе [10] следует, что определяющие соотношения с выбран-

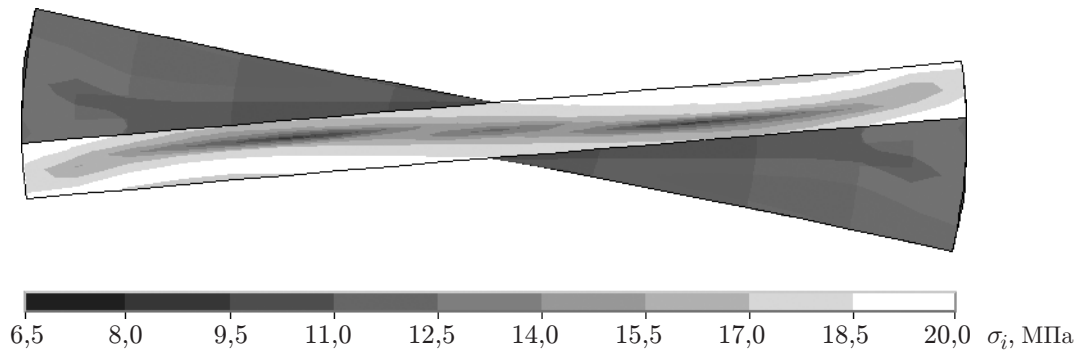


Рис. 7. Изолинии интенсивности напряжений в сечении, параллельном кромке пластины, на расстоянии от центра, равном 40 мм

Значения прогиба w в точке $x_1 = x_2 = 40$ мм, $x_3 = 0$
и кривизны диагонали пластины χ , вычисленной по этим прогибам

Метод расчета	h , м	M , Н·м/м	$t = 0$		$k = 1,0, t = 2$ ч		$k = 2,5, t = 2$ ч		$1 - \lambda$, %
			$w \cdot 10^4$, м	χ , м ⁻¹	$w \cdot 10^3$, м	χ , м ⁻¹	$w \cdot 10^3$, м	χ , м ⁻¹	
1	0,0200	1250	—	0,048	—	1,642	—	0,916	45,5
2	0,0104	380	1,69	0,106	3,42	2,139	2,93	1,832	15,1
2	0,0040	50	3,73	0,233	1,80	1,126	1,61	1,008	13,2

ными константами достаточно точно описывают деформирование материала в диапазоне $20 \text{ МПа} < \sigma_i < 60 \text{ МПа}$, т. е. в течение всего процесса деформирования. На рис. 7 показаны изолинии интенсивности напряжений в сечении, параллельном кромке пластины, на расстоянии от центра, равном 40 мм, при этом деформации при $t = 2$ ч, $F = 760$ Н, $k = 1$ не превышают 2 %. Несимметричный характер распределения изолиний подтверждает наличие мембранных деформаций.

В таблице приведены расчетные значения прогиба w в точке $x_1 = x_2 = 40$ мм, $x_3 = 0$ и вычисленной по этому прогибу кривизны $\chi = \chi_{12}$ диагонали пластины при $t = 0$, 2 ч и $k = 1,0; 2,5$ для пластин различной толщины. Для сплава марки 1163Т в случае плоского напряженного состояния отношение кривизны пластины из трансверсально-изотропного материала ($k = 2,5$) к кривизне пластины из изотропного материала ($k = 1,0$) $\lambda = \chi(k)/\chi(1)$ составляет 0,55, т. е. вследствие анизотропии материала в направлении нормали при чистом изгибе кривизна уменьшается на 45 %. При увеличении прогиба, уменьшении толщины пластины и, следовательно, при увеличении мембранных деформаций влияние анизотропии материала в направлении нормали при деформировании пластины уменьшается, при этом $\lambda \simeq 0,8 \div 0,9$.

Поскольку в случае чистого изгиба пластины под действием постоянного момента в условиях установившейся ползучести $\chi(k)/\chi(1) = \dot{\chi}(k)/\dot{\chi}(1)$, верхнюю оценку $1 - \lambda < 1 - \lambda_*$ можно получить из формулы (7), вычислив отношение скоростей изменения кривизны для трансверсально-изотропного и изотропного материалов

$$\lambda_* = \frac{\dot{\chi}_{12}(k)}{\dot{\chi}_{12}(1)} = \left(\frac{2}{3} \frac{k+2}{k+1} \right)^{(n+1)/2}.$$

Для сплава марки 1163Т при $k = 2,5$ $\lambda_* = 0,54$, т. е. скорость изменения кривизны уменьшается на 46 %. Изложенный метод расчета в предположении чистого изгиба позволяет оценить влияние трансверсальной изотропии в направлении нормали на процесс деформирования пластины при ползучести.

ЛИТЕРАТУРА

1. **Горев Б. В., Соснин О. В., Загарин Ю. В.** Технология процесса формообразования деталей двойной знакопеременной кривизны в режиме ползучести и устройство для его осуществления // Военная техника, вооружение и технологии двойного применения: Материалы 3-го Международ. технол. конгресса, Омск, 7–10 июня 2005 г. Омск: Омский гос. ун-т, 2005. Ч. 1. С. 117–119.
2. **Соснин О. В., Горев Б. В., Раевская Г. А.** Обработка материалов давлением при медленных режимах деформирования // Новые материалы и технологии: Теория и практика упрочнения материалов в экстремальных процессах. Новосибирск: Наука. Сиб. издат. фирма, 1992. С. 168–181.
3. **Аннин Б. Д., Олейников А. И., Бормотин К. С.** Моделирование процессов формообразования панелей крыла самолета SSJ-100 // ПМТФ. 2010. Т. 51, № 4. С. 155–165.
4. **Цвелодуб И. Ю.** Постулат устойчивости и его приложения в теории ползучести металлических материалов. Новосибирск: Ин-т гидродинамики СО АН СССР, 1991.
5. **Никитенко А. Ф.** Ползучесть и длительная прочность металлических материалов. Новосибирск: Новосиб. гос. архит.-строит. ун-т, 1997.
6. **Локощенко А. М.** Моделирование процесса ползучести и длительной прочности металлов. М.: Моск. гос. индустр. ун-т, 2007.
7. **Грязев М. В., Ларин С. Н., Яковлев С. С.** Оценка влияния анизотропии механических свойств заготовки на предельные возможности изотермического деформирования полусферических деталей в режиме ползучести // Изв. Тул. гос. ун-та. Техн. науки. 2011. № 2. С. 394–398.
8. **Соснин О. В.** Об анизотропной ползучести материалов // ПМТФ. 1965. № 6. С. 99–104.
9. **Работнов Ю. Н.** Ползучесть элементов конструкций. М.: Наука, 1966.
10. **Горев Б. В., Панамарев В. А.** Метод интегральных характеристик для расчетов изгиба элементов конструкций // Науч.-техн. ведомости С.-Петербур. гос. политехн. ун-та. Сер. Физ.-мат. науки. 2013. Вып. 3. С. 268–273.
11. **Банщикова И. А.** Расчет пластин двойной кривизны из анизотропных сплавов при ползучести // Вестн. Нижегород. ун-та им. Н. И. Лобачевского. 2011. № 4, ч. 4. С. 1385–1387.
12. **Горев Б. В.** К оценке ползучести и длительной прочности элементов конструкций по методу характеристических параметров. Сообщ. 1 // Пробл. прочности. 1979. № 4. С. 30–36.
13. **Бойл Дж.** Анализ напряжений в конструкциях при ползучести / Дж. Бойл, Дж. Спенс. М.: Мир, 1986.
14. **Banshchikova I. A.** Modeling of anisotropic creep by using Hill's theory // Zb. radova konf. "Mathematical and informational technologies. 2009", Kopaoniku, Budvi, 28 avg. — 5 sept. 2009. Beograd: Univ. of Pristina (Kosovska Mitrovica, Serbia), 2010. S. 32–36.
15. **Банщикова И. А., Горев Б. В.** Кручение пластин с пониженной сопротивляемостью деформациям ползучести в направлении толщины // Тр. конф. "Наследственная механика деформирования и разрушения твердых тел — научное наследие Ю. Н. Работнова", Москва, 24–26 февр. 2014 г. М.: Ин-т машиноведения РАН, 2014. С. 23–28.

*Поступила в редакцию 3/IV 2014 г.,
в окончательном варианте — 22/I 2015 г.*